

גלים ומערכות מפלגות
00440148

סמסטר חורף 2026

תרגיל מחשב

שם: יבגני קריוקוב ת"ז: 319242350

שם: אילון הלוי ת"ז: 328137831

שאלה 1:

- א. השתמשו ב- Matlab על מנת ליצור פולס גaussi בזמן :
1. צרו ציר זמן בתחום: $[0 \quad 0.1\mu sec]$, עם מרוחך דגימה של $dt = 100 psec$
 2. על הגל הנושא להיות בתדר: $f_0 = 1 GHz$
 3. על הפולס להיות ברוחב $4.2 nsec$ בחצי הגובה (FWHM).
 4. שיא הפולס צריך להופיע בבדיקה באמצעות ציר הזמן – קלומר סביב $nsec .50$

לקוד המطلב לנו פונקציה שמקבלת פרמטרים של גאוסיאן ומיצרת את וקטור הזמן

(ערך הגaussiano בכל נקודה שתואמת לוקטור הזמן)

```
function signal = createGaussianEnvelope(t_vector, t_peak, fwhm)
    % Calculate sigma from FWHM
    % Formula: FWHM = 2 * sqrt(2 * ln(2)) * sigma
    sigma = fwhm / (2 * sqrt(2 * log(2)));

    % Calculate Gaussian Envelope
    envelope = exp(-(t_vector - t_peak).^2 / (2 * sigma^2));
    signal = envelope;
end
```

ליצירת גל גauss מואפן בגל נושא בעל תדר f_0 הוספנו פונקציה נוספת:

```
function signal = createPulse(t_vector, t_peak, fwhm, f_carrier_frequency)
    % Calculate Gaussian Envelope
    envelope = createGaussianEnvelope(t_vector, t_peak, fwhm); % a(t)
    carrier = cos(2 * pi * f_carrier_frequency * t_vector); % Re{e^(j*w*t)}
    signal = envelope .* carrier; % Re{a(t) * e^(j*w*t)}
end
```

להלן הקוד של ייצור הפולס כנתבקש:

```
%>>> %% Part A: Signal Generation
dt = 100e-12; % 100 psec to seconds
t = 0:dt:0.1e-6; % Time vector from 0 to 0.1 microsec

% Gaussian Pulse Parameters
t_center = 50e-9; % Center at 50 nsec
fwhm = 4.2e-9; % 4.2 nsec Full Width at Half Maximum

% Carrier Parameters
f0 = 1e9; % 1 GHz carrier frequency

t_signal = createPulse(t,t_center,fwhm,f0);
```

ב. ביצעו התמרת פורייה לפולס :

1. התמרת פורייה ב- Matlab תבוצע לפי שורת הקוד הבאה :

```
f_signal=fftshift(fft(t_signal));
```

2. צרו ציר תדר לפי השורה הבאה :

```
f=linspace(-1/2/dt,1/2/dt,length(t_signal));
```

3. הציגו את הספקטרום המתkeletal ע"י פונקציית stem.

4. בחרו את התדרים העיקריים המרכיבים את האות, אותם תמשיכו לעבוד בהמשך השאלה.

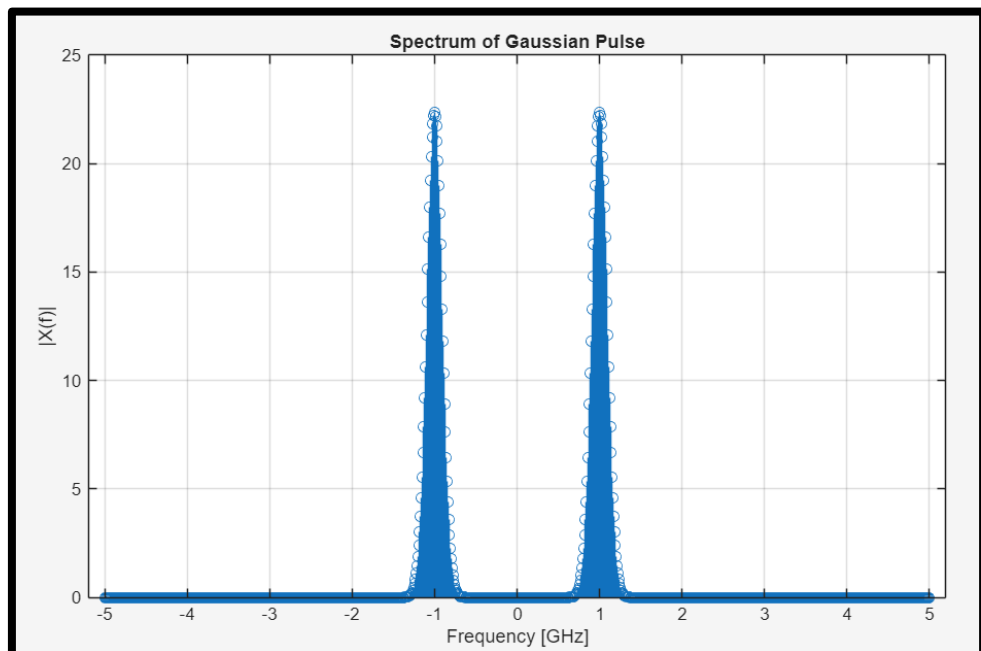
להלן חלק הקוד:

```
%% Part B: Fourier Transform
f_signal = fftshift(fft(t_signal));
f = linspace(-1/(2*dt), 1/(2*dt), length(t_signal));

% Plotting the Spectrum
figure;
stem(f / 1e9, abs(f_signal));
title('Spectrum of Gaussian Pulse');
xlabel('Frequency [GHz]'); ylabel('|X(f)|');
grid on;

% Main Frequencies of the signal are 1[GHz] and -1[GHz].
% We shall choose positive frequencies only and use the real part of the
% result (symmetry)
% we might get the same result without passing through positive filter
% with the constraint beta(-omega) = -beta(omega)
f_filtered_signal = SingleSidebandFilter(f, f_signal, 0);
```

להלן הגרף:



נבחן כי התמרת פורייה זוגית בתדר (בערכה המוחלט, אך לא רק בערכה המוחלט).

ישן שתי גישות בניתו הפעילה.

- גישה 1 - להחליט באופן "שרירותי" שמתקיים $(\omega - \beta)$ לכל תדר $\omega \in \mathbb{R}$.
- גישה 2 - לנתח את האות רק בתדרים החיוביים, ולקחת בסופו את החלק המשי של התמרתה ההפוכה.

בהתחלת לא הבנו במיוחד את הגישה השנייה בסעיף וכן תיארנו בסעיף המשך את תגובת התדר של המערכת (התקרdotות בתוור) באופן הבא (前进 מוקדם איזוגי בתדר):

```
function signal_at_z = propagateWaveInZ(frequencies, fourier_signal, n, z)
c0 = 3e8; % velocity of light in vacum (m/s)
omega = 2 * pi * frequencies;
k_0 = omega / c0;
beta = k_0 .* n;

% 2. Enforce Physical Antisymmetry (beta(-f) = -beta(f))
% For real-valued time signals, the phase shift must be an odd function.
% We take the beta calculated for positive frequencies and mirror it
% for the negative side with a sign flip.
beta_antisymmetric = sign(frequencies) .* interp1(frequencies, beta, abs(frequencies), 'linear', 'extrap');

% 3. Apply the Phase Shift (Propagation)
% H(f) = exp(-j * beta * z)
propagation_factor = exp(-1j * beta_antisymmetric * z);

f_signal_propagated = fourier_signal .* propagation_factor;

% Return to time domain using Inverse FFT
signal_at_z = ifft(ifftshift(f_signal_propagated));
end
```

לאחר שהבנו את הגישה השנייה ושזה מה שנתקבש בסעיפים העוקבים, מימשו גם פילטר לתדרים חיוביים:

```
function f_filtered_signal = SingleSidebandFilter(frequencies, fourier_signal, cutoff)
% SINGLESIDEBANDFILTER Filters the spectrum to keep only frequencies above a specific value.
% This creates a single-sided spectrum by removing negative frequencies
% and components below the cutoff, often used for analytic signal processing.
%
% frequencies : The frequency vector [Hz] (from fftshift)
% fourier_signal : The shifted FFT of the input signal
% cutoff : The lower frequency boundary [Hz]. Components below this are zeroed.

% 1. Create a logical mask to isolate frequencies strictly greater than or equal to the cutoff.
mask = frequencies >= cutoff;

% 2. Apply the mask to the fourier signal
f_filtered_signal = fourier_signal .* mask;
end
```

לפי הגרף ברור שהאות צר סרט סביב התדר $f_0 = 1[\text{GHz}]$. לפי הוראות השאלה, נבצע פילטר לתדרים חיוביים בלבד:

```
% Main Frequencies of the signal are 1[GHz] and -1[GHz].
% We shall choose positive frequencies only and use the real part of the
% result (symetry)
% we might get the same result without passing through positive filter
% with the constraint beta(-omega) = -beta(omega)
f_filtered_signal = SingleSidebandFilter(f, f_signal, 0);
```

- ג. צרו פרופיל מקדם שבירה אחד כתלות בתדר :
1. מהירות הפазה בתווך של הגל הנושא צריכה להיות שווה ל: $\frac{c}{A+B} = n$, כאשר c מהירות האור בריק, ו- A, B הם שני מספרים שתבחרו אוטם - הצעירו בהערה על המספרים בהם השתמשתם.
 2. קדמו את מרכיבי התדר השניים שבחרתם בסעיף הקודם למרחקים הבאים :
- $$z_1 = 0 , \quad z_2 = v_p \cdot 10 \text{ nsec} , \quad z_3 = v_p \cdot 20 \text{ nsec}$$
3. שרטטו לאורך ציר הזמן את כל הגלים שקיבלתם, יחד עם הסופרפוזיציה שלהם, בגרף נפרד עבור כל אחד מהמקומים הנ"ל.
הסבירו את התוצאה המתבקשת (شرطו ללא הסבר לא יתקבל).

בחרנו באופן שרירותי:

$$A = 29, \quad B = 1$$

```
%>>> %% Part C: Phase Velocity and Propagation
c0 = 3e8; % velocity of light in vacum (m/s)

A = 29; B = 1; % Example constants (A+B > 1)
n_op = A+B;
v_p = c0 / n_op; % Phase velocity
v_g = v_p; % Linear Dispersion

% Distances
z = [0, v_g * 10e-9, v_g * 20e-9]; % z1, z2, z3

% Expected result:
% signal(z,t) = Re{a(t-beta_1*z) * e^(j*(w*t-beta_0*z))}
% beta = k_0 * n = omega / c0 * n
% beta_1 = dbeta / domega = n / c0

% the delay should be:
% beta_1 * z = n_op / c0 * v_p * 10^-8 * (i-1) = 10^-8 * (i-1)
% the delay expected to be 10 [nsec].

plotPropagatedSignalsInZ('Part C: Constant Refractive Index', t, z, f, f_filtered_signal, n_op)
```

הערה:

לסעיף זה, התווך בעל מקדם שבירה קבוע ולכן דיספרסיה ליניארית, ומכך מהירות הפазה היא מהירות החבורה. (זה נכון עבור גל גאוסי מאופן, כפי שנלמד בתרגול 4).

במטרה לשרטט גרפים של האות המתקדם בగוף בערכי Z שונים, הכנו את הפונקציה:

```
function plotPropagatedSignalsInZ(graph_name, t_vector, z_vals, frequencies, f_filtered_signal, n)
    figure('Name', graph_name);
    total_signal = zeros(size(t_vector)); % Initialize vector for superposition
    colors = {'b', [0 0.5 0], 'm'}; % Blue, Dark Green, Magenta

    plots_num = length(z_vals)+1;
    for i = 1:plots_num-1
        z_curr = z_vals(i);
        % Propagate the filtered signal to the current distance
        t_signal_at_z = propagateWaveInZ(frequencies, f_filtered_signal, n, z_curr);

        % Accumulate for superposition
        current_real_sig = real(t_signal_at_z);
        total_signal = total_signal + current_real_sig;

        % Plot individual signals with unique colors
        subplot(plots_num, 1, i);
        plot(t_vector * 1e9, current_real_sig, 'Color', colors{i}, 'LineWidth', 1);
        title(['Individual Signal at z = ', num2str(z_curr*1e3, '%.2f'), ' mm']);
        xlabel('Time [nsec]'); ylabel('Amp');
        grid on;
    end

    % Plot the Superposition (The sum of all three waves) in Red
    subplot(plots_num, 1, plots_num);
    plot(t_vector * 1e9, total_signal, 'Color', 'r', 'LineWidth', 1.5);
    title('Superposition of all signals');
    xlabel('Time [nsec]'); ylabel('Amp');
    grid on;
end
```

כאמור- מקדם שבירה קבוע גורר דיספרזיה ליניארית כאשר הפיתוח סביר אפס הוא ללא ערך קבוע. אמנם כאשר נבצע פיתוח לתדר סביר התדר המרכזי $f_0 = f$, נקבל שכן ישנו ערך קבוע.

פונקציה זו תעזר לנו לכל המקרים השונים, לכל הסעיפים השונים בשאלת.

הרץ היא מבצעת את פעולות הקידום של האות בתווך בעל מקדם שבירה נתון ומציגה את התוצאות במרקחים נתוניים, כמו את הסופרפויזציה של האותות במרקחים השונים.

לפי התוצאה מהתרגול למקדם התקדמות ליניארי (מקדם שבירה קבוע):

$$E_y(z, t) = \operatorname{Re}\{\tilde{E}_y(z, t)\} = \operatorname{Re}\{a(t - \beta_1 z)e^{j(\omega_0 t - \beta_0 z)}\}$$

כאשר הסיגナル המשודר ב- $z = 0$ הוא $a(t) \cdot \cos(2\pi \cdot f_0 \cdot t)$.

$$\text{כאשר נפתח דרך } \omega_0 = 2\pi \cdot 10^9 \left[\frac{\text{rad}}{\text{sec}} \right] \text{ נקבל:}$$

$$n_{op} = A + B$$

$$\beta(\omega) = k_0(\omega) \cdot n(\omega) = \frac{\omega}{c_0} \cdot n_{op} = \frac{\omega}{c_0} \cdot (A + B) = (\omega - \omega_0) \cdot \frac{A + B}{c_0} + \omega_0 \cdot \frac{A + B}{c_0}$$

כלומר:

$$\beta_1 = \frac{A + B}{c_0} = \frac{30}{c_0} = 10^{-7} \left[\frac{\text{sec}}{\text{m} \cdot \text{rad}} \right], \quad \beta_0 = \omega_0 \cdot \frac{A + B}{c_0} = \omega_0 \cdot \beta_1 = 20 \cdot \pi \left[\frac{1}{\text{m}} \right]$$

מהירות הפaza נתונה לפ' :

עבור דרך z , השהיית האות הנושא $e^{j(\omega_0 t - \beta_0 z)} = e^{j\omega_0(t - \frac{\beta_0}{\omega_0}z)}$ ולכן, מהירות האות הנושא, לה נקרא מהירות הפaza v_p , ניתנת לחישוב גם עיי חלוקת הדרך z בהשניה $\beta_0 z$:

$$v_p = \frac{z}{\frac{\beta_0}{\omega_0}z} = \frac{\omega_0}{\beta_0}$$

במקרה שלנו:

$$v_p = \frac{\omega_0}{\beta_0} = \frac{1}{\beta_1} = \frac{c_0}{A + B} = 10^7 \left[\frac{\text{m}}{\text{s}} \right]$$

$$v_g = \frac{1}{\beta_1} = v_p$$

```

%% Part C: Phase Velocity and Propagation
c0 = 3e8; % velocity of light in vacum (m/s)

A = 29; B = 1; % Example constants (A+B > 1)
n_op = A+B;
v_p = c0 / n_op; % Phase velocity
v_g = v_p; % Linear Dispersion

% Distances
z = [0, v_g * 10e-9, v_g * 20e-9]; % z1, z2, z3

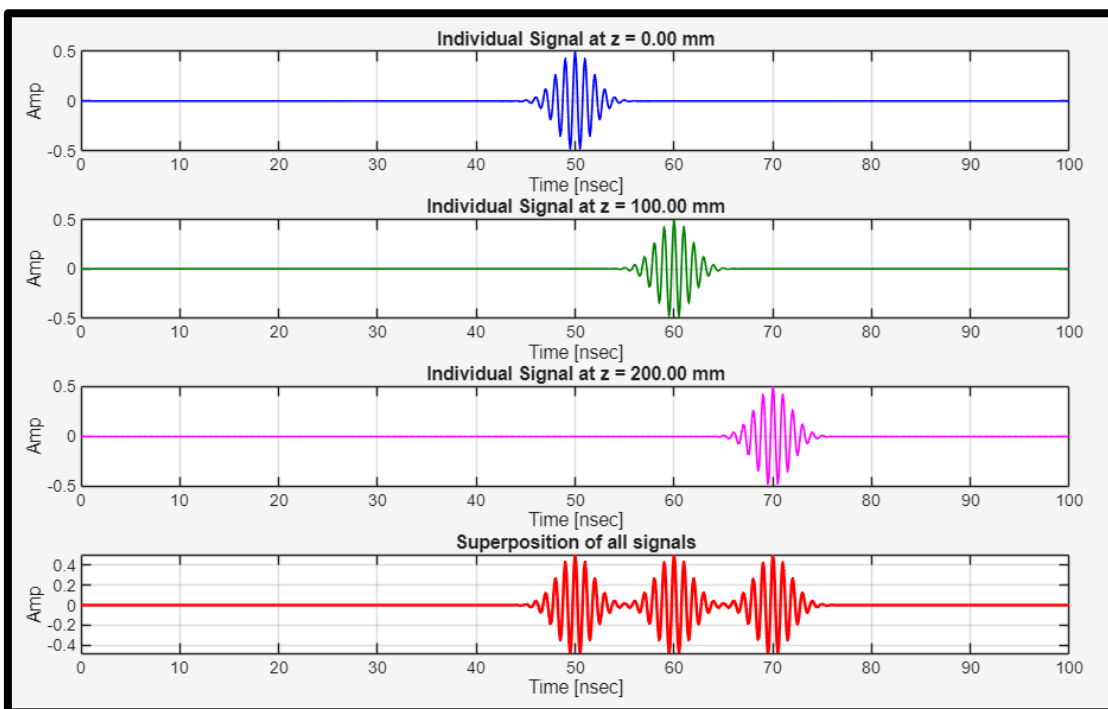
% Expected result:
% signal(z,t) = Re{a(t-beta_1*z) * e^(j*(w*t-beta_0*z))}
% beta = k_0 * n = omega / c0 * n
% beta_1 = dbeta / domega = n / c0

% the delay should be:
% beta_1 * z = n_op / c0 * v_p * 10^-8 * (i-1) = 10^-8 * (i-1)
% the delay expected to be 10 [nsec]..

plotPropagatedSignalsInZ('Part C: Constant Refractive Index', t, z, f, f_filtered_signal, n_op)

```

התוצאה שהתקבלה בمطلوب:



כפי שראים בציור, ישנה התאמה להתוצאה מהתרגול. כפי שציפינו. ישנו דילוי ליניארי ב-z.

הدليل עצמו توأم את החישובים. (המරחק בין כל אותות עוקבים הוא 10 ננו-שניות כפול מהירות הפעזה, וזאת מהירות החבורה. ניתן לראות בבירור שמרכז האות הוזז 10 ננו-שניות.)

בנוסף, ניכר כי אין שינוי פaza. זה توأم את התוצאה שלנו- $z_i \cdot \beta$ הוא כפולה שלמה של 2π .

ד. הוסיפו למקדם השבירה מהסעיף הקודם הקודם תלות לינארית בתדר :

$$1. \text{ התלות הlinearית של מקדם השבירה תהיה: } \Delta n(f) = 10A(f - f_0)dt.$$

2. חזרו על 2,3 תתי-סעיף ג' הקודם.

הסבירו את התוצאות המתקבלות, והתייחסו לתוצאות גם בהשוויה לתוצאות הסעיף הקודם.

כasher מקדם השבירה לינארי (לא קבוע), מקדם ההתקדמות הופך לפולינומי (מסדר שני).

במצב זה, לפי תוצאות התרגום, לא ניתן יותר להגיד מהירות פאה. כן ניתן להגיד מהירות חבורה.

כיוון שאין הוראות מיוחדות לגבי מהירות חבורה-

נניח שהכוונה היא להישאר עם אותם ערכים של z , מסעיף ג'.

מקדם השבירה כעת כתלות בתדר (פיתוח סביר התדר המרצי ω_0):

$$\beta(\omega) = k_0(\omega) \cdot n(\omega) = \frac{\omega}{c_0} \cdot [n_{op} + 10 \cdot A \cdot dt \cdot 2\pi \cdot (\omega - \omega_0)]$$

$$\beta(\omega) = (\omega - \omega_0)^2 \cdot \frac{10 \cdot A \cdot dt \cdot 2\pi}{c_0} + (\omega - \omega_0) \cdot \frac{n_{op} + 10 \cdot A \cdot dt \cdot 2\pi \cdot \omega_0}{c_0} + \omega_0 \cdot \frac{n_{op}}{c_0}$$

קיבלנו:

$$\beta_2 = \frac{10 \cdot A \cdot dt \cdot 2\pi}{2 \cdot c_0}, \quad \beta_1 = \frac{n_{op} + 10 \cdot A \cdot dt \cdot f_0}{c_0}, \quad \beta_0 = \omega_0 \cdot \frac{n_{op}}{c_0}$$

אין מהירות פאה מוגדרת... אמם יש מהירות חבורה מוגדרת:

מכך שאין מהירות פאה מוגדרת- נניח שהכוונה היא שנשתמש ב מהירות החבורה.

(בסעיף ג' לא היה הבדל בין מהירות החבורה ל מהירות הפאה)

במטרה להשוות תוצאות לסעיף הבא, נחשב מספרית את β_2 :

$$\beta_2 = \frac{10 \cdot A \cdot dt \cdot 2\pi}{2 \cdot c_0} = \frac{5 \cdot A \cdot dt \cdot 2\pi}{c_0} = \frac{5 \cdot A \cdot dt \cdot 2\pi \cdot \omega_0}{c_0 \cdot \omega_0} = \frac{5 \cdot A \cdot dt \cdot f_0}{c_0 \cdot \omega_0}$$

המימוש בקוד:

```
%> Part D: Quadratic Dispersion
delta_n = 10 * A * (f - f0) * dt;
n_f = n_op + delta_n;

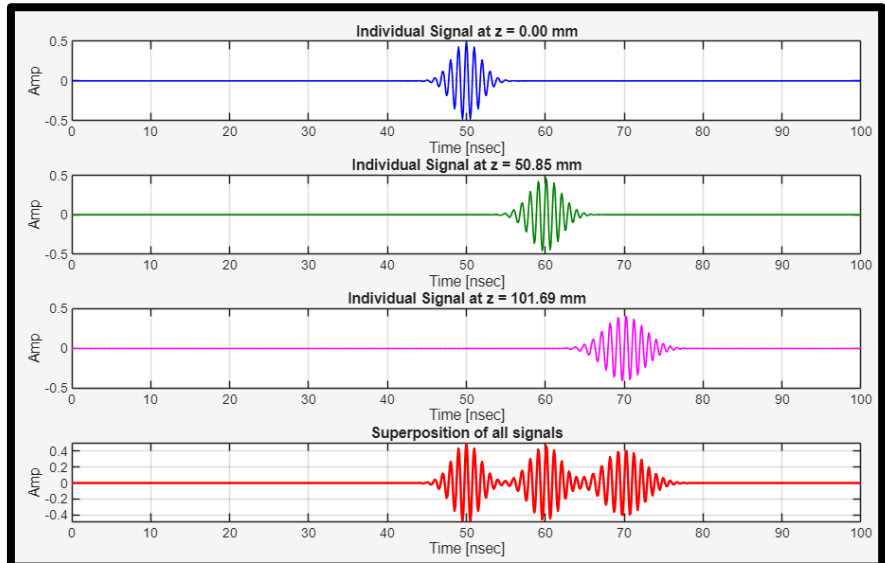
beta_1 = (n_op + 10 * A * dt * f0) / c0;
v_g = 1 / beta_1; % Group Velocity

% Distances
z = [0, v_g * 10e-9, v_g * 20e-9]; % z1, z2, z3

% Expected result:
% beta(omega) = k_0 * n = omega / c0 * n
% beta is polynomial of order 2 and thus the expected result is change
% the width of the pulse and also phase-change:

% tau(z) = tau(0)*sqrt{1+(beta_2*z/tau_0^2)^2}
plotPropagatedSignalsInZ('Part D: Quadratic Dispersion', t, z, f, f_filtered_signal, n_f)
```

תוצאות הגרף:



כמו בסעיף ג', ניתן לראות בבירור שיש התאמה ל מהירות החבורה כיוון שמרכז הגל הושהה בזמן ב-10 ננו-שניות כאשר הגל התקדם ב-10 ננו-שניות כפול מהירות הפaza. בנוסף, ניכר شيء פיזור- רוחב הפולס (הגאוסי) של הגל גדול ככל שරוחקים יותר מ- $z=0$. באופן דומה- גובה הפולס קטן ככל שרוחקים יותר מ- $z=0$. זה توأم את התוצאה מהתרגול:

$$\tau_z = \sqrt{\tau_0^2 + \left(\frac{\beta_2 z}{\tau_0}\right)^2} = \tau_0 \sqrt{1 + \left(\frac{\beta_2 z}{\tau_0^2}\right)^2}$$

בשונה מסעיף ג'- בסופרפוזיציה יש "התחזות" כלומר הגלים הירוק והורוד בעלי חפיפה בתמך שלהם. (לפחות בתמך הבולט לעין...)

ה. הוסיפו למקדם השבירה מהסעיף הקודם הקודם תלות ריבועית בתדר :

1. התלות הליינארית של מקדם השבירה תהיה: $\Delta n(f) = 3000B(f - f_0)^2 dt^2$

2. חזרו על 2,3 תתי-סעיף ג' הקודם.

הסבירו את התוצאות המתקבלות, והתייחסו לתוצאות גם בהשוויה לתוצאות הסעיף הקודם.

נעיר כי מקדם ההתקומות נתון לפ' :

$$\beta(\omega) = k_0(\omega) \cdot n(\omega) = \frac{\omega}{c_0} \cdot n(\omega) = \frac{\omega}{c_0} \cdot [n_{op} + 3000 \cdot B \cdot (f - f_0)^2 \cdot dt^2]$$

$$\begin{aligned} \beta(\omega) &= \frac{\omega}{c_0} \cdot [n_{op} + 3000 \cdot B \cdot 4 \cdot \pi^2 \cdot (\omega - \omega_0)^2 \cdot dt^2] \\ &= (\omega - \omega_0)^3 \cdot \frac{3000 \cdot B \cdot 4 \cdot \pi^2 \cdot dt^2}{c_0} + (\omega - \omega_0)^2 \cdot \frac{3000 \cdot B \cdot 4 \cdot \pi^2 \cdot dt^2 \cdot \omega_0}{c_0} \\ &\quad + (\omega - \omega_0) \cdot \frac{n_{op}}{c_0} + \omega_0 \cdot \frac{n_{op}}{c_0} \end{aligned}$$

קיים:

$$\begin{aligned} \beta_0 &= \omega_0 \cdot \frac{n_{op}}{c_0} = \omega_0 \cdot \beta_1, & \beta_1 &= \frac{n_{op}}{c_0}, & \beta_2 &= \frac{3000 \cdot B \cdot 4 \cdot \pi^2 \cdot dt^2 \cdot \omega_0}{2 \cdot c_0} = 3 \cdot \omega_0 \cdot \beta_3, \\ \beta_3 &= \frac{3000 \cdot B \cdot 4 \cdot \pi^2 \cdot dt^2}{6 \cdot c_0} \end{aligned}$$

לא למדנו בכיתה כיצד משפייע המקדם השלישי של טור טיילור בדיסטרסיה על אות גאוסי מאופן.

אמנם, אפשר לנחש שמרכז הpolloס ינוע במהירות החבורה:

$$v_g = \frac{1}{\beta_1} = \frac{c_0}{n_{op}}$$

בנוסף, אפשר לנחש פיזור של רוחב הגאוסיאן לפי המקדם $\beta_3 \cdot \beta_0 \cdot 3$.

נציר כי המספר β_2 (ללא היחידות) גדול הרבה יותר מאשר β_3 ללא היחידות שלו. זאת כי ω_0 "גדול מאוד".

לא באמת ניתן להשוות בין הגודלים כיון שהם בעלי היחידות שונות. אולם, היחס המספרי הגדול נותן לנו אינטואיציה שהאפקט של התרחבות הגאוסיאן שפינו בו בדיסטרסיה מסדר שני יהיה משמעותית יותר.

נמצא ביטוי שאלגברית דומה יותר לתוצאה מסעיף קודם של β_2 :

$$\beta_2 = \frac{3000 \cdot B \cdot 4 \cdot \pi^2 \cdot dt^2 \cdot \omega_0}{2 \cdot c_0} = \frac{3000 \cdot B \cdot 4 \cdot \pi^2 \cdot dt^2 \cdot \omega_0^2}{2 \cdot c_0 \cdot \omega_0} = \frac{3000 \cdot B \cdot dt^2 \cdot f_0^2}{2 \cdot c_0 \cdot \omega_0}$$

$$\beta_2 = \frac{3000 \cdot B \cdot dt \cdot f_0}{10 \cdot A} \cdot \frac{5 \cdot A \cdot dt \cdot f_0}{c_0 \cdot \omega_0} = \frac{300 \cdot B \cdot dt \cdot f_0}{A} \cdot \frac{5 \cdot A \cdot dt \cdot f_0}{c_0 \cdot \omega_0}$$

נעיר כי הביטוי $\frac{5 \cdot A \cdot dt \cdot f_0}{c_0 \cdot \omega_0}$ זה היה ה- β_2 מהסעיף הקודם.

לכן נסיק (ניתן בקלות לוודא) שהמقدم:

$$\frac{300 \cdot B \cdot dt \cdot f_0}{A}$$

חסר ייחדות, ונוטן את היחס בין הדיספריסיה בסעיף הקודם לבין הדיספריסיה בסעיף זה.
נחשב את ערכו של היחס הנ"ל:

$$dt \cdot f_0 = 100[ps] \cdot 1[GHz] = 10^{-10}[s \cdot 10^9] = 10^{-1}$$

כלומר נקבל:

$$\frac{300 \cdot B \cdot dt \cdot f_0}{A} = \frac{300 \cdot B}{A} \cdot dt \cdot f_0 = \frac{30 \cdot B}{A} = 30 \cdot \frac{B}{A} = 30 \cdot \frac{1}{29} = 1 + \frac{1}{29} \approx 1$$

מקודם היחס בין הדיספרסיות בין הסעיף הקודם לשיער הנוכחי הוא כמעט 1!

כלומר הדיספרסיות דומות מאוד!

איןנו איטיבית, נסיק שרוחב הגאוסיאן באותו ערך z , בתוכים השונים מסעיף הקודם וסעיף זה,
יהי בעלי אותו רוחב. (רוחב הגאוסיאן בסעיף זה עשוי להיות גדול במקצת, אך לא באופן ניכר...)
כਮובן שזה תחת ההזנחה לחילוטין של האפקט של β_3 , שיתכן שהוא משפיע על צורת האות בסעיף זה.

להלן הקוד לסעיף ה':

```
%> %% Part E: Quadratic Refractive Index
delta_n = 3000 * B * (f - f0).^2 * dt^2;
n_f = n_op + delta_n;

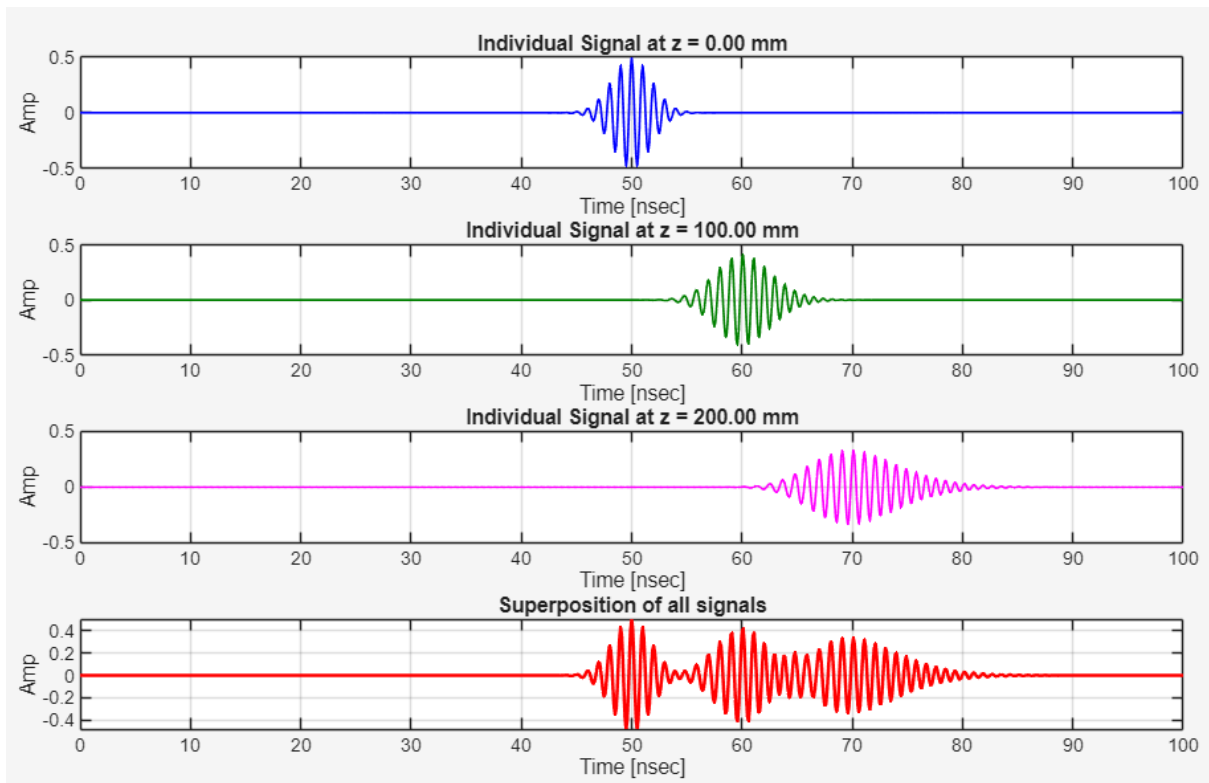
beta_1 = n_op / c0;
v_g = 1 / beta_1; % Group Velocity

% Distances
z = [0, v_g * 10e-9, v_g * 20e-9]; % z1, z2, z3

% Expected result:
% beta(omega) = k_0 * n = omega / c0 * n
% beta is polynomial of order 3 and we did not calculate that in class.

plotPropagatedSignalsInZ('Part E: Quadratic Refractive Index', t, z, f, f_filtered_signal, n_f)
```

להלן תוצאות הסימולציה:



ניתן לראות התאמה די טובה בין מהירות החבורה כפי שהגדכנו אותה לבין מהירות החבורה כפי שנראית בגרפים (כלומר, המרכז, או יותר נכון, הקיצון, של האות) שנע במתארות החבורה (לפי גрафים אלו).

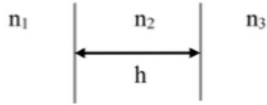
ניתן גם לראות בבירור את האפקט של התרחבות הגל הגאוסי.

נעיר כי הגרף הירוק (b -[mm] = z) נראה כמעט זהה (מבחינת רוחב הגאוסיאן) לgraf הורוד מסעיף קודם (שהיה ממוקם גם בסביבות [mm] = z = 100).

נצח שערכי β יהיו דומים מאוד בין הסעיפים. זה אכן המצב! (ראו עמוד קודם)

שאלה 2:

נתוח שכבת ציפוי המוועדת למניעת החזרות, בדומה לנитוח שבוצע עבור לוח F-P, אולם הפעם מקדמי השבירה בכניסה וביציאה מהלך אינם שווים.



א. עבור קיטוב ניצב, רשמו את מטריצת המעבר הכלולת עבור שכבה, כאשר גל אינ' מגע מתחוץ זה ויצא מתחוץ זה.

$$\begin{aligned} T = T_{2 \rightarrow 3} \cdot T_{2 \rightarrow 1} \cdot T_{1 \rightarrow 2} &= \frac{1}{1 - R_{2 \rightarrow 3}} \begin{bmatrix} 1 & -R_{2 \rightarrow 3} \\ -R_{2 \rightarrow 3} & 1 \end{bmatrix} \cdot \begin{bmatrix} e^{-j\frac{\pi}{2}} & 0 \\ 0 & e^{j\frac{\pi}{2}} \end{bmatrix} \cdot \frac{1}{1 - R_{1 \rightarrow 2}} \begin{bmatrix} 1 & -R_{1 \rightarrow 2} \\ -R_{1 \rightarrow 2} & 1 \end{bmatrix} = \\ &= \frac{1}{(1 - R_{2 \rightarrow 3})(1 - R_{1 \rightarrow 2})} \begin{bmatrix} e^{-j\frac{\pi}{2}} + R_{2 \rightarrow 3} R_{1 \rightarrow 2} e^{j\frac{\pi}{2}} & e^{-j\frac{\pi}{2}} (-R_{1 \rightarrow 2}) - e^{j\frac{\pi}{2}} \circ R_{2 \rightarrow 3} \\ -R_{2 \rightarrow 3} e^{-j\frac{\pi}{2}} - R_{1 \rightarrow 2} e^{j\frac{\pi}{2}} & e^{j\frac{\pi}{2}} + R_{1 \rightarrow 2} R_{2 \rightarrow 3} e^{-j\frac{\pi}{2}} \end{bmatrix} \end{aligned}$$

$$n_1 \sin(\theta_1) = n_2 \sin(\theta_2) \quad \int_{\text{Layer 1}}^{\text{Layer 2}} \frac{d\theta}{n_1 \cos(\theta)} = \int_{\text{Layer 2}}^{\text{Layer 3}} \frac{d\theta}{n_2 \cos(\theta)} = 2k_0 n_2 h \cos(\theta_2) \quad \text{eq 2}$$

$$R_{1 \rightarrow 2} = R_{1 \rightarrow 2} = \frac{\frac{n_2}{\cos \theta_1} - \frac{n_1}{\cos \theta_1}}{\frac{n_2}{\cos \theta_1} + \frac{n_1}{\cos \theta_1}} \quad R_{2 \rightarrow 3} = R_{2 \rightarrow 3} = \frac{\frac{n_3}{\cos \theta_2} - \frac{n_2}{\cos \theta_2}}{\frac{n_3}{\cos \theta_2} + \frac{n_2}{\cos \theta_2}}$$

ב. רשמו ביטויים עבור מקדמי החזרה וההעברה (הכלולים) לשדה החשמלי.

הראו כי $R_{\text{tot}} = t_{\text{tot}} = \text{יחס מתקבלים הביטויים שחושבו בתרגול 7}$ (מקדמי החזרה וההעברה שלழוד).

.(FP)

$$R_{\text{tot}} = \frac{E_{2,1}^-}{E_{2,1}^+} = \frac{R_{2 \rightarrow 3} e^{-j\frac{\pi}{2}} + R_{1 \rightarrow 2} e^{j\frac{\pi}{2}}}{e^{j\frac{\pi}{2}} + R_{1 \rightarrow 2} R_{2 \rightarrow 3} e^{-j\frac{\pi}{2}}} = R_{1 \rightarrow 2}$$

$$t_{\text{tot}} = \frac{E_{2,1}^+}{E_{2,1}^-} = \frac{(1 + R_{2 \rightarrow 3})(1 + R_{1 \rightarrow 2})}{e^{j\frac{\pi}{2}} + R_{1 \rightarrow 2} R_{2 \rightarrow 3} e^{-j\frac{\pi}{2}}}$$

$$R_{2 \rightarrow 3} = \frac{\frac{n_3}{\cos \theta_2} - \frac{n_2}{\cos \theta_2}}{\frac{n_3}{\cos \theta_2} + \frac{n_2}{\cos \theta_2}} = \frac{\frac{n_1}{\cos \theta_1} - \frac{n_2}{\cos \theta_2}}{\frac{n_1}{\cos \theta_1} + \frac{n_2}{\cos \theta_2}} = -\frac{\frac{n_1}{\cos \theta_1} - \frac{n_2}{\cos \theta_1}}{\frac{n_1}{\cos \theta_1} + \frac{n_2}{\cos \theta_1}} = -R_{1 \rightarrow 2}$$

$$R_{\text{tot}} = \frac{R_{1 \rightarrow 2} (e^{j\frac{\pi}{2}} - e^{-j\frac{\pi}{2}})}{e^{j\frac{\pi}{2}} - R_{1 \rightarrow 2} e^{-j\frac{\pi}{2}}} = \frac{e^{-j\frac{\pi}{2}} \cdot R_{1 \rightarrow 2} (e^{j\frac{\pi}{2}} - e^{-j\frac{\pi}{2}})}{e^{j\frac{\pi}{2}} - R_{1 \rightarrow 2} e^{-j\frac{\pi}{2}}} = \frac{R_{1 \rightarrow 2} (1 - e^{-j\pi})}{1 - R_{1 \rightarrow 2} e^{-j\pi}} = \frac{R_{1 \rightarrow 2}}{R_{1 \rightarrow 2} - 1} = R_{\text{FP}}$$

$$t_{\text{tot}} = \frac{(1 - R_{1 \rightarrow 2})(1 + R_{1 \rightarrow 2})}{e^{j\frac{\pi}{2}} - R_{1 \rightarrow 2} e^{-j\frac{\pi}{2}}} = \frac{1 - R_{1 \rightarrow 2}^2}{e^{j\frac{\pi}{2}} - R_{1 \rightarrow 2} e^{-j\frac{\pi}{2}}} = \frac{1 - R_{1 \rightarrow 2}^2}{e^{j\frac{\pi}{2}} - R_{1 \rightarrow 2} e^{-j\frac{\pi}{2}}} = \frac{(1 - R_{1 \rightarrow 2}) e^{j\frac{\pi}{2}}}{e^{j\frac{\pi}{2}} - R_{1 \rightarrow 2} e^{-j\frac{\pi}{2}}} = t_{\text{FP}}$$

ג. חשבו ביטויים עבור עובי השכבה וומקדים השבירה שלה, כך שמקדם ההחזרה יתאפס באורך גל

מסויים בזוויתפגיעה מסוימת. הניחו כי $n_2 < n_3 < n_1$.

$$\begin{aligned} \Theta_L &= \arcsin\left(\frac{n_1}{n_2} \sin\theta_1\right) \\ \Theta_3 &= \arcsin\left(\frac{n_1}{n_3} \sin\theta_1\right) \end{aligned} \quad \leftarrow N_1 \sin\theta_1 = N_2 \sin\theta_2 = N_3 \sin\theta_3$$

$$R_{1 \rightarrow 2} \ell^2 + R_{2 \rightarrow 3} \ell^2 = 0 \quad \leftarrow R_{\text{tot}} = 0 \quad \leftarrow \text{הנורמלים נסוברים ותעלוד}$$

$$\frac{M_{r,1}}{N_1 \cos\theta_1} = \frac{M_{r,2}}{N_2 \cos\theta_2} = \frac{M_{r,3}}{N_3 \cos\theta_3} \quad \leftarrow \frac{N_1}{\cos\theta_1} = \frac{N_2}{\cos\theta_2} = \frac{N_3}{\cos\theta_3} \quad \leftarrow \frac{\theta_1 = \theta_2 = \theta_3}{R_{1 \rightarrow 2} = R_{2 \rightarrow 3} = 0}$$

$$N_L = N_1 \frac{\cos\theta_1}{\cos\theta_2} \cdot \frac{M_{r,2}}{M_{r,1}} = N_3 \frac{\cos\theta_3}{\cos\theta_2} \cdot \frac{M_{r,1}}{M_{r,3}} \quad \leftarrow \begin{cases} h_1 < N_2 < N_3 \Rightarrow N_1 \cos\theta_1 < N_2 \cos\theta_2 < N_3 \cos\theta_3 \\ \theta_1 > \theta_2 > \theta_3 \end{cases}$$

$$\frac{M_{r,2}}{N_1 \cos\theta_1} = \sqrt{\frac{M_{r,1} \cdot M_{r,3}}{N_1 N_3 \cos\theta_1 \cos\theta_3}} \quad \leftarrow \frac{N_L}{\cos\theta_2} = \sqrt{\frac{N_1}{\cos\theta_1} \cdot \frac{N_3}{\cos\theta_3}} \quad \leftarrow Z_2 = \sqrt{Z_1 Z_3} / N_2$$

$$N_L = \frac{M_{r,2}}{\cos\theta_2} \sqrt{\frac{N_1 N_3 \cos\theta_1 \cos\theta_3}{M_{r,1} M_{r,3}}} \rightarrow N_L = \frac{\lambda}{4 N_1 \cos\theta_1} (1 + 2m) \quad m = 0, 1, 2$$

ד. גל מישורי בעל קיטוב ניצב מגע מתוחן 1, ופוגע בשכבות הציפוי בኒיצב למשטח ההפדרה. חשבו

מספרית את גובה h המינימלי הדרושים לשכבות ציפוי נגד החזרה, עבור זוכיות באוורך,

באורך גל הבא: $n_1 = 1$, $n_3 = 1.45$, $\lambda_0 = 1.55 \mu\text{m}$

$$M_{r,1} = M_{r,2} = M_{r,3} \quad \text{מ } \theta_1 = \theta_2 = \theta_3 = 0 \quad \rightarrow$$

$$N_L = \sqrt{N_1 N_3} = \sqrt{1.45} = 1.2041$$

$$h_0 = \frac{\lambda}{4 N_L \cos\theta_1} (1 + 2m) = \frac{\lambda}{4 N_L} \cdot 1 = \frac{1.55 \cdot 10^{-6}}{4 \cdot \sqrt{1.45}} = 0.321601 \mu\text{m}$$

h_0 פ' סימני $m=0$ $\theta_1 = 0$ $\cos\theta_1 = 1$

ה. עבור נתוני סעיף ד' והעובי שיחסבתם ציירו גורף של מקדם **חחזרה להספק** $R = |r_{FP}|^2$

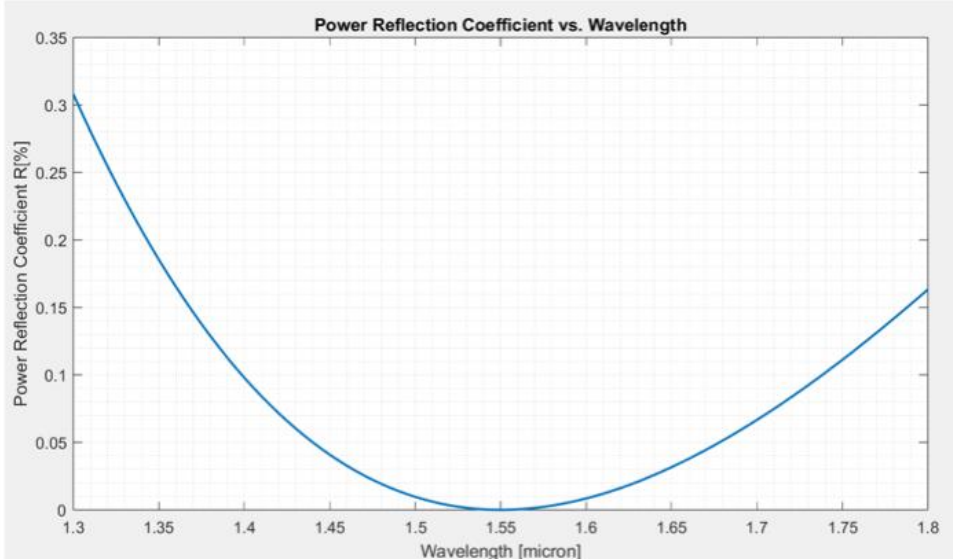
(1) $R(\lambda)$ בפגיעה ניצבת כפונקציה של אורך הגל, עבור אורך הגל בתחום: $\lambda = 1.3 - 1.8 \mu\text{m}$

(2) באורך הגל $\mu\text{m} = 1.55$, כפונקציה של זווית הפגיעה, עבור הזווית $90^\circ - \theta$.

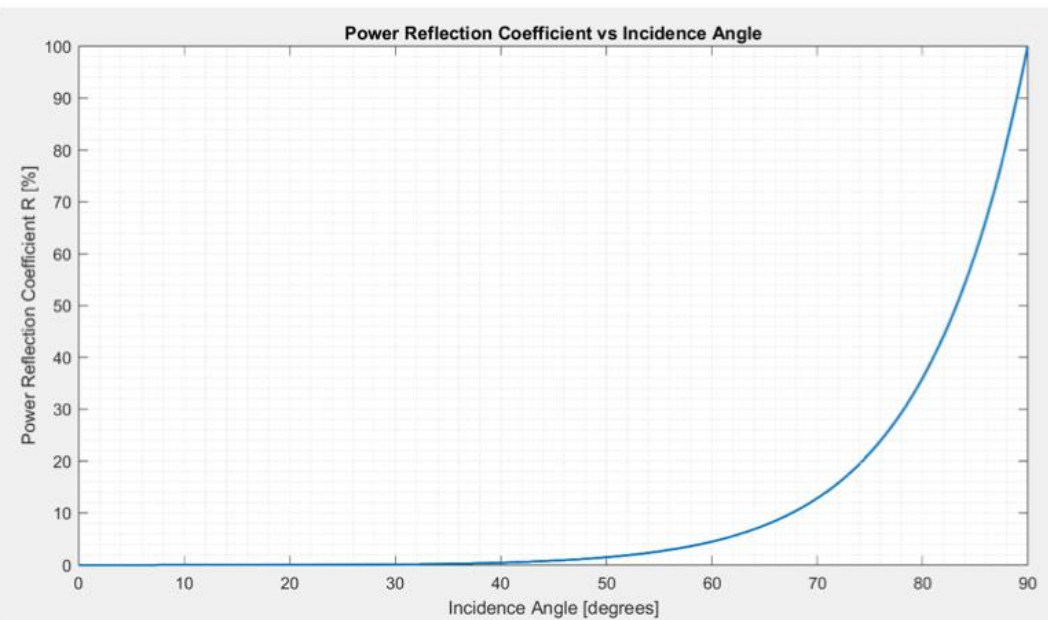
$$R_{1 \rightarrow L} = \frac{n_1 - n_L}{n_1 + n_L}, R_{2 \rightarrow 3} = \frac{n_L - n_3}{n_L + n_3} \leftarrow \theta_1 = \theta_2 = \theta = 0 \quad (1)$$

$$n_L = 1.2051, \quad h_0 = 0.321801 \mu\text{m}, \quad n_1 = 1, \quad n_3 = 1.45, \quad \lambda_0 = 1.55 \mu\text{m}$$

ככ, דוגמת פונקציית רפלקצייה כפונקציה של אורך הגל, נשים לב כי רפלקצייה מינימלית מתרחשת בזווית $90^\circ - \theta$



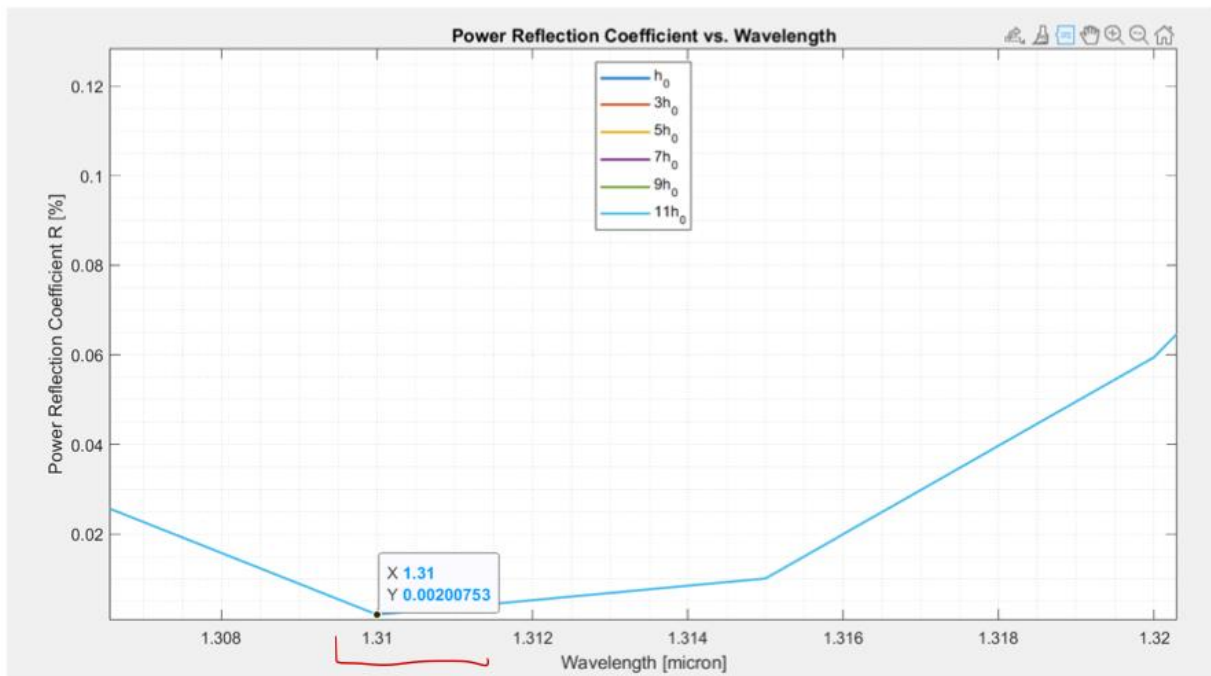
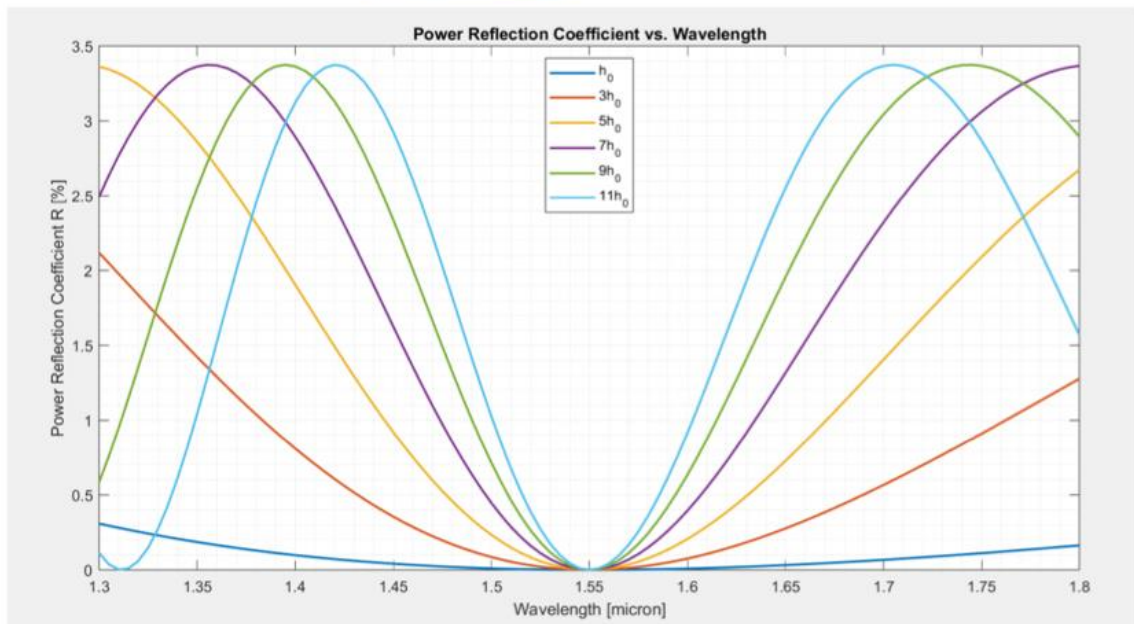
$\theta_1 = 90^\circ - 100^\circ = 10^\circ$, $\theta_2 = 0^\circ$ $\rightarrow r=0$ \Rightarrow רפלקצייה מינימלית מתרחשת בזווית $90^\circ - \theta$ \Rightarrow $\theta = 10^\circ$ (2)



ו. הגדילו את רוחב השכבה בכפולות איזוגיות של 50 וחוירו על סעיף ה' (1) עד שבתחום אורכי הגל הניל מקבילים החזרה מינימלית באורך גל נסף (חצית גור ובו מספר עקומות (ג') R לכל (ה)). מהם הערכיס

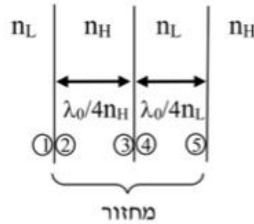
$$h = 11h_0 = 3.515 \text{ mm} \quad \boxed{h_{\text{new}} = 3.515 \text{ mm}}$$

של h המינימאלי ואורך הגל הנוסף.



שאלה 3:

מראה בראש מפולגת היא מבנה רב-שכבותי מוחורי, המורכב משכבות $\lambda/4$ בעלות מקדים שבירה גבוהה ונמוך לסיוגן. בעזרתו ניתן למשם מראה בעלת החזרה של כמעט 100% (99.9999%) על פני תחום רחב של אורך גל סיבי אורך נסיבי נתון.



א. רשמו את המטריצה עבור שתי שכבות ה- $\lambda/4$ המתווארות ביצועו, בין הנקודות 1 – 5 (בלי המעבר האחרון לשכבה H), המהוות מחזיר יחיד במרקם בראש. נתון $r_{L \rightarrow H} > r_{H \rightarrow L}$, והגל הפוגע הוא בקיטוב ניצב.

$$\begin{aligned}
 T &= T_{1 \rightarrow L} \cdot T_{L \rightarrow 2} \cdot T_{2 \rightarrow 3} \cdot T_{3 \rightarrow 4} \cdot T_{4 \rightarrow 5} = T_{L \rightarrow H} \cdot T_{H \rightarrow M, r} \cdot T_{M, r \rightarrow L} \cdot T_{L \rightarrow 1, r} = \text{...} \\
 &= \left[\begin{array}{cc} e^{\frac{j\pi f}{c}} & 0 \\ 0 & e^{\frac{j\pi f}{c}} \end{array} \right] \frac{1}{1 - r_{L \rightarrow H}} \left[\begin{array}{cc} 1 & -r_{H \rightarrow L} \\ -r_{H \rightarrow L} & 1 \end{array} \right] \cdot \left[\begin{array}{cc} e^{\frac{j\pi f}{c}} & 0 \\ 0 & e^{\frac{j\pi f}{c}} \end{array} \right] \cdot \frac{1}{1 - r_{L \rightarrow H}} \left[\begin{array}{cc} 1 & -r_{L \rightarrow H} \\ -r_{L \rightarrow H} & 1 \end{array} \right] = \\
 &= \frac{1}{(1 - r_{L \rightarrow H})(1 - r_{H \rightarrow L})} \left[\begin{array}{cc} e^{-\frac{j\pi f}{c}} & 0 \\ 0 & e^{-\frac{j\pi f}{c}} \end{array} \right] \left[\begin{array}{cc} 1 & -r_{H \rightarrow L} \\ -r_{H \rightarrow L} & 1 \end{array} \right] \left[\begin{array}{cc} e^{\frac{j\pi f}{c}} & 0 \\ 0 & e^{\frac{j\pi f}{c}} \end{array} \right] \left[\begin{array}{cc} 1 & -r_{L \rightarrow H} \\ -r_{L \rightarrow H} & 1 \end{array} \right] = \frac{1}{1 - r_{L \rightarrow H}} \left[\begin{array}{cc} e^{-\frac{j\pi f}{c}} & r_{L \rightarrow H} e^{-\frac{j\pi f}{c}} \\ r_{L \rightarrow H} e^{-\frac{j\pi f}{c}} & e^{-\frac{j\pi f}{c}} \end{array} \right] \left[\begin{array}{cc} e^{\frac{j\pi f}{c}} & -r_{L \rightarrow H} e^{-\frac{j\pi f}{c}} \\ -r_{L \rightarrow H} e^{-\frac{j\pi f}{c}} & e^{\frac{j\pi f}{c}} \end{array} \right] = \\
 &= \frac{1}{1 - r_{L \rightarrow H}} \left[\begin{array}{cc} e^{-\frac{j\pi f}{c}} e^{-\frac{j\pi f}{c}} - r_{L \rightarrow H} e^{-\frac{j\pi f}{c}} e^{-\frac{j\pi f}{c}} & -r_{L \rightarrow H} e^{-\frac{j\pi f}{c}} e^{-\frac{j\pi f}{c}} + r_{L \rightarrow H} e^{-\frac{j\pi f}{c}} e^{-\frac{j\pi f}{c}} \\ r_{L \rightarrow H} e^{-\frac{j\pi f}{c}} e^{-\frac{j\pi f}{c}} - r_{L \rightarrow H} e^{-\frac{j\pi f}{c}} e^{-\frac{j\pi f}{c}} & -r_{L \rightarrow H} e^{-\frac{j\pi f}{c}} e^{-\frac{j\pi f}{c}} + e^{-\frac{j\pi f}{c}} e^{-\frac{j\pi f}{c}} \end{array} \right] = \\
 &= \frac{1}{1 - r_{L \rightarrow H}} \left[\begin{array}{cc} e^{-\frac{2j\pi f}{c}} (e^{-\frac{j\pi f}{c}} - r_{L \rightarrow H} e^{-\frac{j\pi f}{c}}) & r_{L \rightarrow H} e^{-\frac{2j\pi f}{c}} (e^{-\frac{j\pi f}{c}} - e^{-\frac{j\pi f}{c}}) \\ -r_{L \rightarrow H} e^{-\frac{2j\pi f}{c}} (e^{-\frac{j\pi f}{c}} - e^{-\frac{j\pi f}{c}}) & e^{-\frac{2j\pi f}{c}} (e^{-\frac{j\pi f}{c}} - r_{L \rightarrow H} e^{-\frac{j\pi f}{c}}) \end{array} \right] = \frac{1}{1 - r_{L \rightarrow H}} \left[\begin{array}{cc} A & B \\ C & D \end{array} \right] \\
 r_{L \rightarrow H} &= -r_{H \rightarrow L} = V_{L \rightarrow H} = \frac{\eta_H - \eta_L}{\eta_H + \eta_L} = \frac{\frac{\eta_0}{\cos \theta_H} - \frac{\eta_0}{\cos \theta_L}}{\frac{\eta_0}{\cos \theta_H} + \frac{\eta_0}{\cos \theta_L}} = \frac{\frac{\eta_0}{\eta_0 \cos \theta_H} - \frac{\eta_0}{\eta_0 \cos \theta_L}}{\frac{\eta_0}{\eta_0 \cos \theta_H} + \frac{\eta_0}{\eta_0 \cos \theta_L}} = \frac{\eta_L \cos \theta_L - \eta_H \cos \theta_H}{\eta_L \cos \theta_L + \eta_H \cos \theta_H} \\
 \eta_r &= 1 - \eta_H \cdot \frac{\eta_H}{\eta_0}
 \end{aligned}$$

ב. חשבו את מקדמי המעבר והחזרה לאmplיפילודה (t_1, t_2) עבור מחרוז בודד (שתי השכבות הנ"ל).

$$\begin{aligned}
 V_1 &= -\frac{C}{D} = -\frac{-r_{L \rightarrow H} e^{\frac{j\omega}{2}} (e^{\frac{j\omega}{2}} - e^{-\frac{j\omega}{2}})}{e^{\frac{j\omega}{2}} (e^{\frac{j\omega}{2}} - r_{L \rightarrow H} e^{-\frac{j\omega}{2}})} = \frac{r_{L \rightarrow H} (e^{\frac{j\omega}{2}} - e^{-\frac{j\omega}{2}})}{e^{\frac{j\omega}{2}} - r_{L \rightarrow H} e^{-\frac{j\omega}{2}}} \\
 t_1 &= \frac{AD - BC}{D} = \frac{e^{\frac{j\omega}{2}} (e^{\frac{j\omega}{2}} - r_{L \rightarrow H} e^{-\frac{j\omega}{2}}) \cdot e^{\frac{j\omega}{2}} (e^{-\frac{j\omega}{2}} - r_{L \rightarrow H} e^{\frac{j\omega}{2}}) + r_{L \rightarrow H} e^{-\frac{j\omega}{2}} (e^{\frac{j\omega}{2}} - e^{-\frac{j\omega}{2}}) r_{L \rightarrow H} e^{\frac{j\omega}{2}} (e^{\frac{j\omega}{2}} - e^{-\frac{j\omega}{2}})}{e^{\frac{j\omega}{2}} (e^{\frac{j\omega}{2}} - r_{L \rightarrow H} e^{-\frac{j\omega}{2}})} \cdot \frac{1}{1 - r_{L \rightarrow H}} \\
 &= \frac{1 - r_{L \rightarrow H}^2 e^{j\omega} - r_{L \rightarrow H}^2 e^{-j\omega} + r_{L \rightarrow H}^2 (e^{j\omega} - 1) - 1 + e^{-j\omega}}{e^{\frac{j\omega}{2}} (e^{\frac{j\omega}{2}} - r_{L \rightarrow H} e^{-\frac{j\omega}{2}}) (1 - r_{L \rightarrow H})} = \frac{1 - 2r_{L \rightarrow H}^2 + r_{L \rightarrow H}^2}{e^{\frac{j\omega}{2}} (e^{\frac{j\omega}{2}} - r_{L \rightarrow H} e^{-\frac{j\omega}{2}}) (1 - r_{L \rightarrow H})} = \\
 &= \frac{(1 - r_{L \rightarrow H}^2)^2}{e^{\frac{j\omega}{2}} (e^{\frac{j\omega}{2}} - r_{L \rightarrow H} e^{-\frac{j\omega}{2}}) (1 - r_{L \rightarrow H})} = \boxed{\frac{1 - r_{L \rightarrow H}^2}{e^{\frac{j\omega}{2}} (e^{\frac{j\omega}{2}} - r_{L \rightarrow H} e^{-\frac{j\omega}{2}})}}
 \end{aligned}$$

ג. עבור הנתונים הבאים:

$$n_H / n_L = 1.01 \quad .1$$

$$n_H / n_L = 1.1 \quad .2$$

תכננו מראת בראג המורכבת מ-**A מחזוריים**, כמו זה שתואר בסעיף א' (כלומר **N=2 שכבות**). לצורך פשוטות הניחו כי האור פוגע מתחוך חיצוני L ו יצא לתחום חיצוני H (כלומר אין מעבר לאוויר).

קבעו את λ עבור כל אחד משני המקררים כך שתתקבל החזרה להספק $|R_{DBR}|^2 = R$ **אורך הגל**

המורכז בפגיעה ניצבת של מעל 99%. {הדרך: ניחס התחלתי למספר השכבות המדרש כדי לקבל החזרה

כוללת של כמעט 100%, בקירוב של החזרות קטנות בין השכבות $1 << |r_{H \rightarrow L}|$, ניתן ע"י מהו

עובי המראה בכל מקרה?

ציירו גרפים של הגודל (בஅகோம்) והפואה (ரடיאנים) של מקדם החזרה לעוצמה בפגיעה ניצבת

כפונקציה של אורך הגל $R(\lambda)$, עבור תחום אורך הגל λ מ $1.45 - 1.65 \mu\text{m}$

(עבור גוף הפואה השתמשו ברכף הפקודות `unwrap(angle(...))`, כדי להימנע מקפיצות בגרף עקב

מחזור π בערכי הפואה).

$$\begin{aligned} V_{L \rightarrow H} &= \frac{n_L - n_H}{n_L + n_H} = \left(n_L \sin \theta_L = n_H \sin \theta_H \right) \text{ סינוס } \theta_H = 0, \quad \theta_L = 0 \quad \text{נ.ל. } 1.5 \mu\text{m} \\ &= \frac{1.45 - 1.01 \cdot 1.65}{1.45 + 1.01 \cdot 1.65} = -4.975 \cdot 10^{-3} \leq 1 \rightarrow \frac{2}{|r_{L \rightarrow H}|} = N = 201 \rightarrow \text{ר.ה. } 102 \end{aligned}$$

$$\int_L = \sum_{j=1}^{N-1} n_L \frac{d_L}{\lambda} \cos \theta_L = \frac{4L}{\lambda} \cdot n_L \cdot \frac{\lambda_0}{4n_H} \cdot 1 = \frac{n_L \lambda_0}{\lambda} = n_L = \int_H \quad R(\lambda_0) > \frac{99}{100} \quad (1)$$

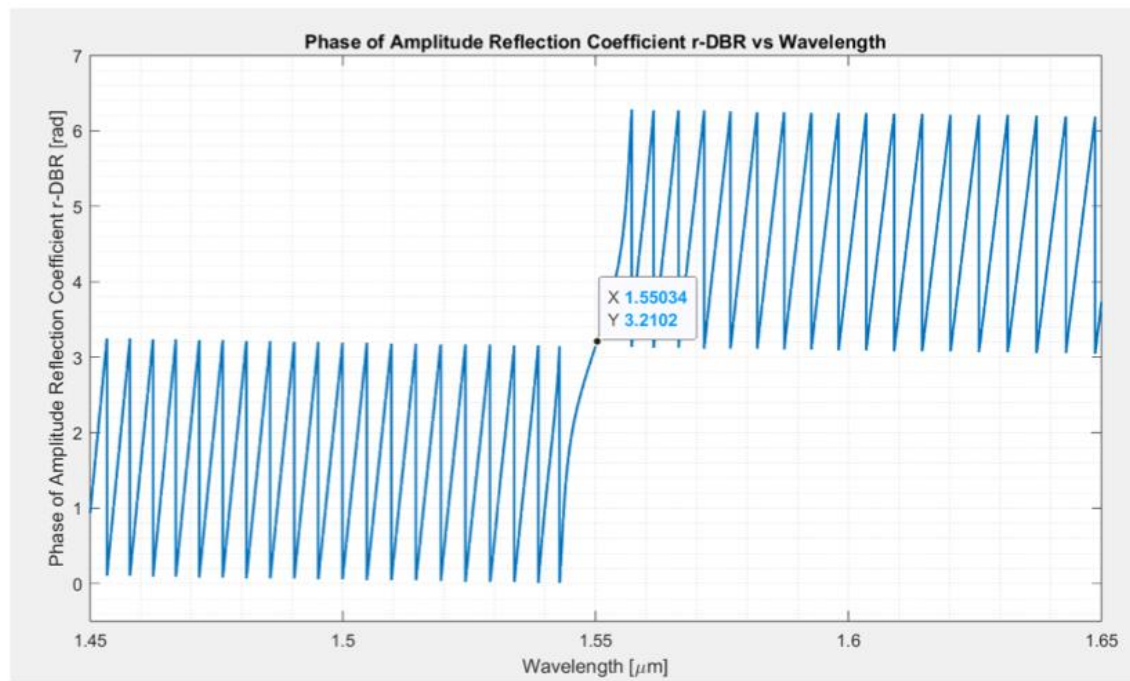
$$\begin{aligned} T &= \frac{1}{1 - r_{L \rightarrow H}^2} \left[\begin{array}{l} e^{-j \frac{R}{2}} (e^{-j \frac{R}{2}} - r_{L \rightarrow H}^2 e^{j \frac{R}{2}}) \\ -r_{L \rightarrow H} e^{j \frac{R}{2}} (e^{j \frac{R}{2}} - e^{-j \frac{R}{2}}) \end{array} \right] = \frac{1}{e^{\frac{jR}{2}} (e^{\frac{jR}{2}} - r_{L \rightarrow H}^2)} \left(e^{\frac{jR}{2}} - e^{-\frac{jR}{2}} \right) = \frac{T}{e^{\frac{jR}{2}}} \quad (2) \end{aligned}$$

$$\begin{aligned} &= \frac{1}{1 - r_{L \rightarrow H}^2} \left[-j(-j - r_{L \rightarrow H}^2 j) \right] = \frac{1}{1 - r_{L \rightarrow H}^2} \left[-1 - V_{L \rightarrow H}^2 \quad 2r_{L \rightarrow H} \right] \\ &\quad j(j - r_{L \rightarrow H}^2 (-j)) = \frac{1}{1 - r_{L \rightarrow H}^2} \left[2r_{L \rightarrow H} \quad -1 - r_{L \rightarrow H}^2 \right] \end{aligned}$$

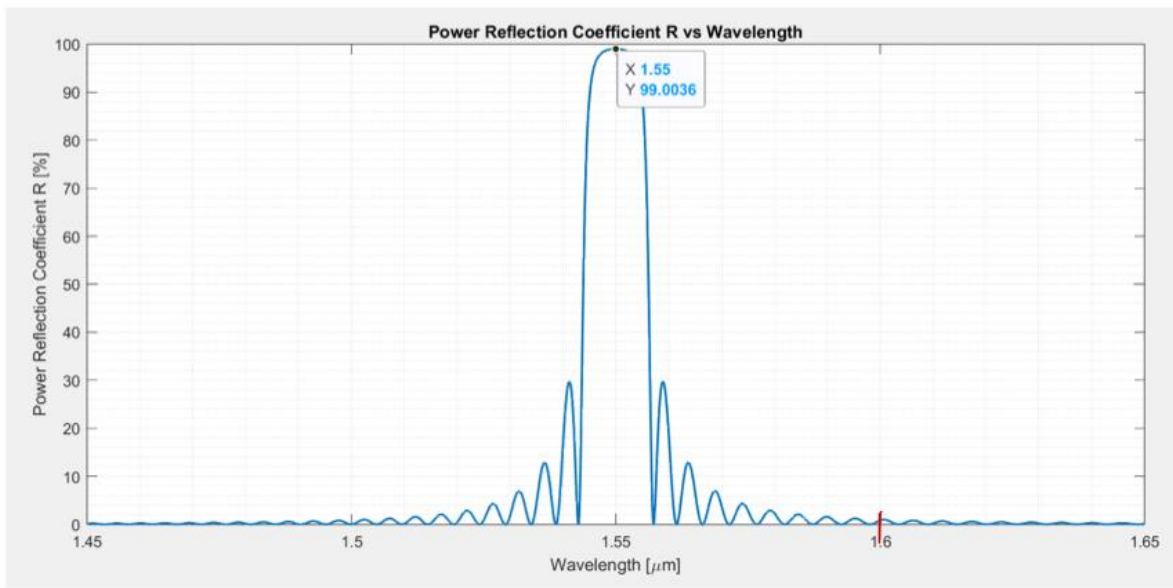
$$e^{-j \frac{R}{2}} = -j$$

$$V_{L \rightarrow H} = N \left(\frac{\lambda_0}{4n_H} + \frac{\lambda_0}{4n_L} \right) = 201 \left(\frac{1.55 \cdot 10^{-6}}{1.45 \cdot 1.65} + \frac{1.55 \cdot 10^{-6}}{1.45 \cdot 1.45} \right) = 106.2 \mu\text{m}$$

$\angle V_{DBR}$



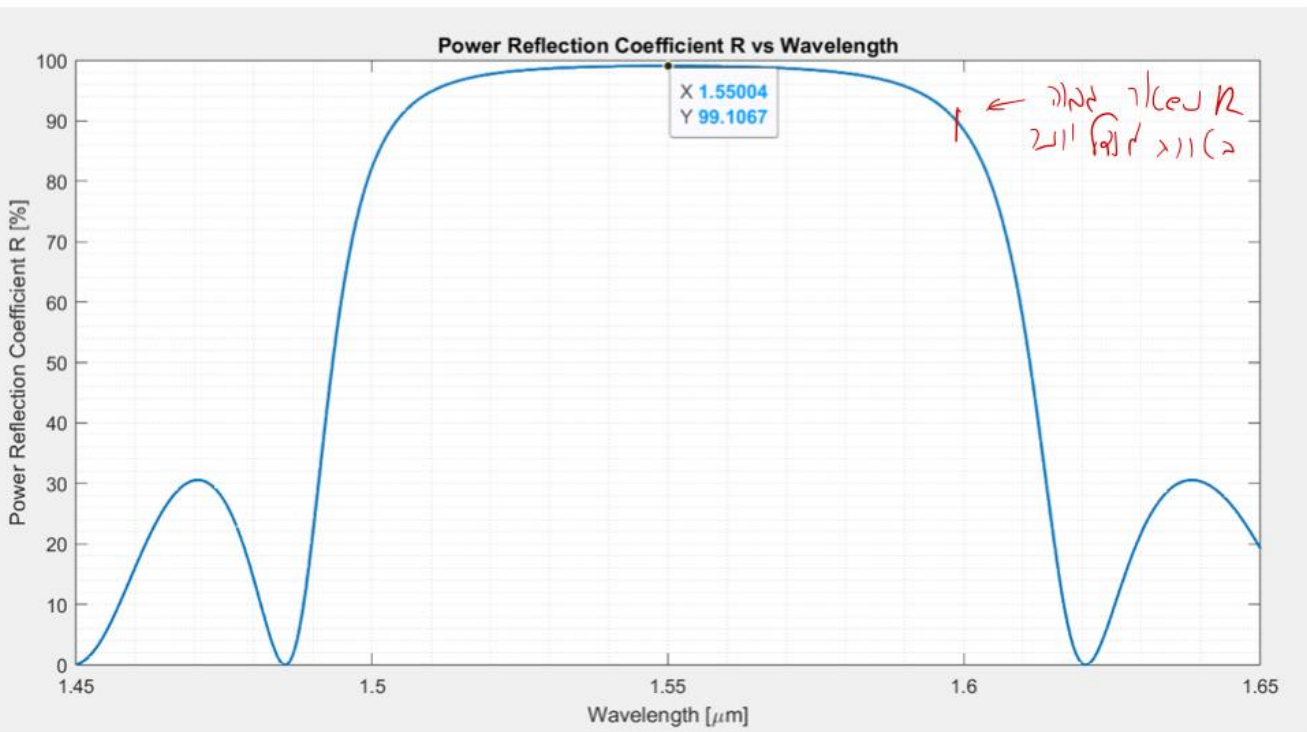
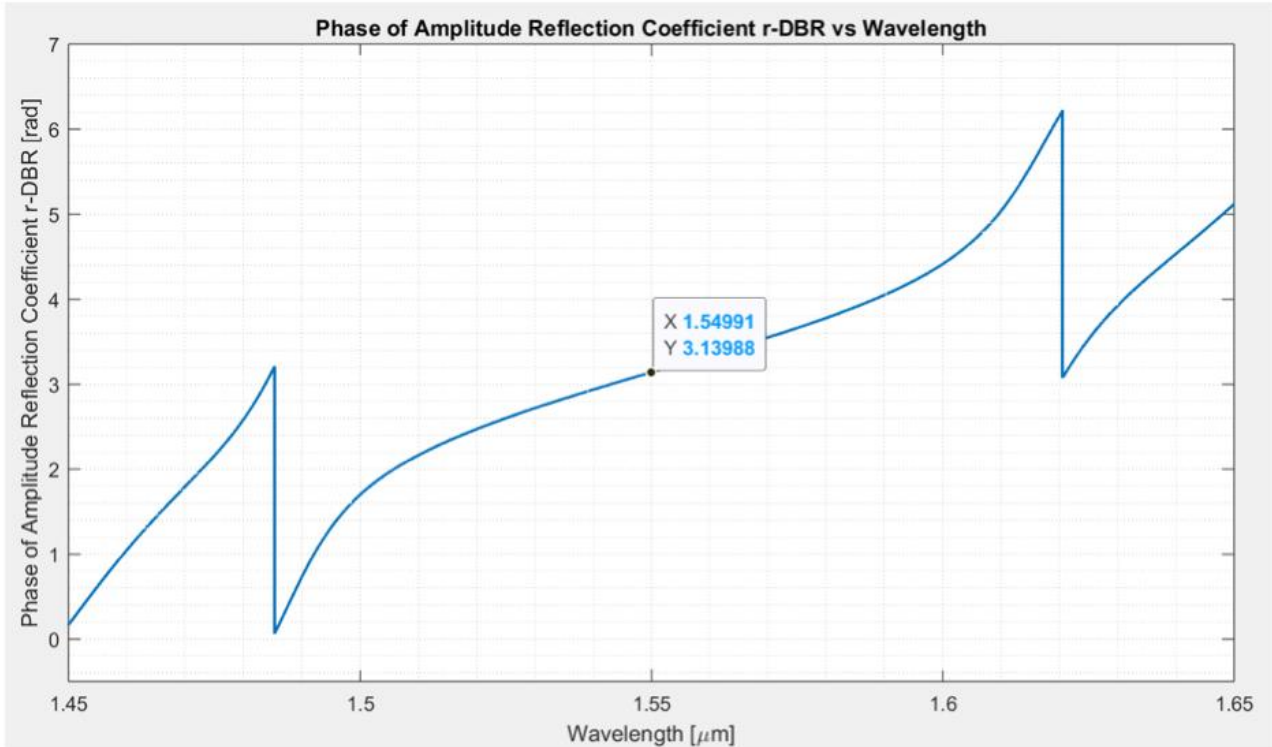
$R(\lambda)$



$$n_H = 1.1 n_L = 1.545$$

$$k_{L \rightarrow H} = \frac{1.65 - 1.545}{1.65 + 1.545} = -0.04762 \rightarrow \tilde{N} = 21 \quad (42 \omega \text{ nm}) \quad (2)$$

$$\lambda \approx 21 \cdot \left(\frac{1.55 \cdot 10^{-6}}{4 \cdot 1.55} + \frac{1.55 \cdot 10^{-6}}{4 \cdot 1.65} \right) = 10.712 \mu\text{m}$$



ד. מעוניינים להשתמש בມראה שתכנתם בסעיף ג' (עבור יחס מקדמי שבירה $L/n_H = 1.01$ ובורא אותו אורך גל מרכזי, כעת יש 400 מחזוריים) אולם בטעות מוקמה המראה כך שזווית הפגיעה של גל משורי ביחס אליה היא 5 מעלות. שרטטו את ספקטרום החזרה להספק, והסבירו את ההשפעה על החזרה מן המראה? מהי מידת החזרה עבור אורך הגל $\lambda = 1.55 \mu\text{m}$?

For example, if the average age of the population is 47.1% (the mean), then the standard deviation is 1.55 years.

1.7 Ω $|f'(c)| \leq 1.712$ $\lambda = 1.55\text{mm}$, $r_1 = 1.1\text{cm}$

